

УДК 539.1.06

©1994

## НЕКОТОРЫЕ ЗАКОНОМЕРНОСТИ АННИГИЛИЯЦИИ ПОЗИТРОНОВ В ПОЛИКРИСТАЛЛИЧЕСКИХ МЕТАЛЛАХ

*Ю.А. Новиков, А.В. Раков, В.П. Шантарович*

Методом измерения угловых распределений аннигиляционных фотонов (УРАФ) измерены угловые распределения поликристаллических меди, алюминия, тантала и хрома. Определены параметры параболической и гауссовой компонент УРАФ этих металлов. Обнаружена эмпирическая закономерность, связывающая  $I_p$  (интегральный вклад параболической компоненты) и  $\theta_p$  (импульс Ферми электронов в металле в единицах ms):  $\theta_p^6/I_p = aK$ , где  $K = 2, 3, 5$  и  $6$  для меди, алюминия, тантала и хрома соответственно. Определена величина безразмерного параметра  $a = (3.74 \pm 0.05) \cdot 10^{-14}$ .

Аннигиляции позитронов в поликристаллических металлах посвящено большое количество работ (см., например, [1–3]). Широкие исследования выявили основные закономерности аннигиляции и позволили перейти к исследованиям структуры металлов и ее изменениям под действием различных факторов [4–6]. Однако в последнее время появились работы, указывающие на то, что, по-видимому, не все закономерности аннигиляции позитронов в поликристаллических металлах известны [7–9]. Настоящая работа посвящена анализу результатов экспериментов, сообщенных в [8, 9], по измерению угловых распределений аннигиляционных фотонов (УРАФ) в меди, алюминии, тантале и хроме.

Угловые распределения измерялись на установке [10], реализующей стандартную параллельно-щелевую геометрию эксперимента [3]. Отличие установки [10] от традиционных заключается в том, что в процессе эксперимента измеряются не только совпадения  $\gamma$ -квантов, но и загрузки обоих детекторов  $\gamma$ -квантов. Как показали эксперименты, это позволяет вводить поправки в угловые распределения, устраняющие искажения УРАФ, возникающие за счет поглощения  $\gamma$ -квантов в исследуемом образце [10]. Источником позитронов служил изотоп  $^{22}\text{Na}$  активностью  $10 \text{ mCi}$ . Набранная статистика составила  $(5\text{--}10) \cdot 10^3$  в максимуме УРАФ.

Образцы металлов имели размеры  $15 \times 30 \text{ mm}$  и толщину  $2 \text{ mm}$  (тантал толщиной  $0.1 \text{ mm}$ ) и были вырезаны из большого куска металла (тантал — лист холоднокатанного металла). Никакой специальной обработки поверхности образцов или их отжига не проводилось.

Угловые распределения поликристаллических меди, алюминия, тантала и хрома показаны на рис. 1. Там же приведены их разложения

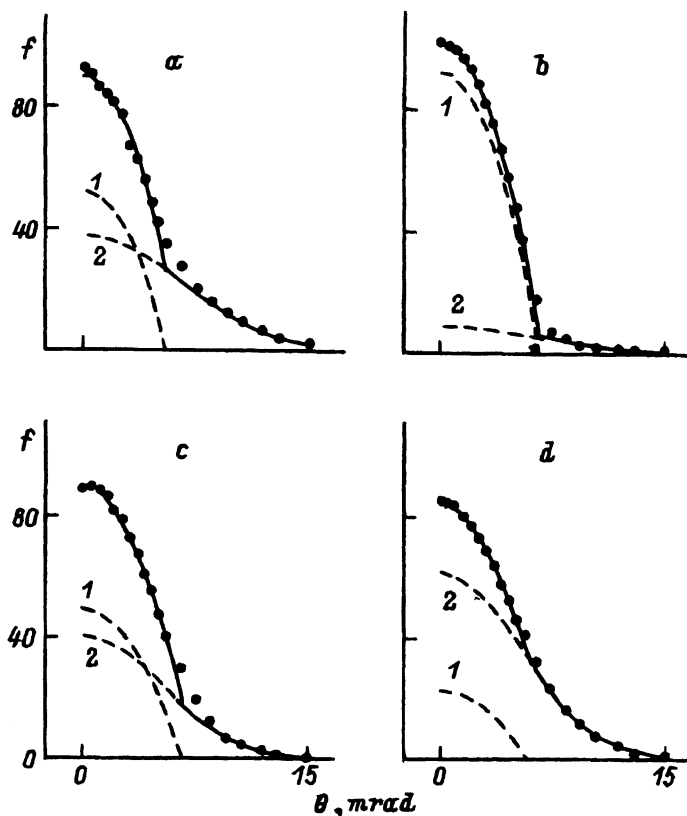


Рис. 1. Угловые распределения аннигиляционных фотонов поликристаллических меди (*a*), алюминия (*b*), tantalа (*c*) и хрома (*d*).

Штриховые линии — параболическая (1) и гауссовская (2) компоненты УРАФ. Сплошная линия соответствует сумме компонент.

на параболическую  $f_p(\theta)$  и гауссовскую  $f_g(\theta)$  компоненты

$$f(\theta) = f_p(\theta) + f_g(\theta), \quad (1)$$

$$f_p(\theta) = \begin{cases} (3I_p/4\theta_p^3) (\theta_p^2 - \theta^2), & |\theta| \leq \theta_p, \\ 0, & |\theta| > \theta_p, \end{cases}$$

$$I_p = \int_{-\theta_p}^{+\theta_p} f_p(\theta) d\theta,$$

$$f_g(\theta) = \left( I_g / \sqrt{2\pi} \theta_g \right) \exp(-\theta^2/2\theta_g^2),$$

$$I_g = \int_{-\infty}^{+\infty} f_g(\theta) d\theta,$$

Таблица 1

Параметры параболической и гауссовой компонент УРАФ поликристаллических меди, алюминия, тантала и хрома

	Парабола		Гауссиан	
	$I_p, \%$	$\theta_p, \text{mrad}$	$I_g, \%$	$\theta_g, \text{mrad}$
Cu	$38.4 \pm 0.9$	$5.566 \pm 0.025$	$59 \pm 5$	$6.31 \pm 0.16$
Al	$85.1 \pm 0.6$	$6.738 \pm 0.015$	$14.9 \pm 2.4$	$6.4 \pm 0.4$
Ta	$45.8 \pm 1.3$	$6.705 \pm 0.027$	$54 \pm 7$	$5.13 \pm 0.17$
Cr	$17.8 \pm 0.7$	$5.91 \pm 0.04$	$82 \pm 10$	$5.25 \pm 0.16$

$$I_p + I_g = 1$$

(параметры компонент представлены в табл. 1). Видно, что сумма параболической и гауссовой кривых хорошо описывает эксперимент, как это и следует из других экспериментов [1-3].

Согласно общепринятой трактовке [1-3], разделение УРАФ на параболическую и гауссовскую компоненты связано с наличием двух типов электронов в металлах — свободных (электронов проводимости) и связанных (электронов, входящих в состав остовов атомов металла). Параболическая компонента определяется аннигиляцией позитронов на электронах проводимости, а гауссовская — на внутренних электронах атомов. В этой связи импульсная плотность электронов проводимости определяется выражением

$$n_c(p) = \frac{A_c}{\theta} \frac{df_p(\theta)}{d\theta}, \quad (2)$$

где  $A_c$  — нормировочная константа, а угол  $\theta_p$  связан с импульсом Ферми  $p_F$  с помощью выражения

$$p_F = \theta_p m c,$$

$m$  — эффективная масса электрона,  $c$  — скорость света.

Таким образом, в экспериментах по измерению УРАФ можно определить импульс Ферми электронов в данном металле и тем самым число свободных электронов, приходящихся на 1 атом металла, согласно формуле

$$Z_c = \frac{8\pi}{3} \left( \frac{mc}{h} \right)^3 \frac{A}{\rho N_A} \theta_p^3, \quad (3)$$

Таблица 2

Параметры меди, алюминия, тантала и хрома, необходимые для расчета  $Z_c$ , и величины  $Z_c$  и  $K$ , полученные из выражений (3) и (5) соответственно

	$A$	$\rho, \text{g/cm}^3$	$Z_c$	$K$
Cu	63.55	8.89	$1.20 \pm 0.02$	$2.06 \pm 0.08$
Al	27	2.7	$2.98 \pm 0.02$	$2.94 \pm 0.06$
Ta	180.95	16.6	$3.20 \pm 0.04$	$5.3 \pm 0.2$
Cr	52	7.2	$1.45 \pm 0.03$	$6.4 \pm 0.4$

где  $N_A$  — число Авогадро,  $A$  — атомный вес,  $\rho$  — плотность металла.

В табл. 2 представлены параметры меди, алюминия, tantalа, хрома и величины  $Z_c$ , полученные из выражения (3) (параметры  $\theta_p$  взяты из табл. 1). По своей сущности  $Z_c$  должны быть целыми числами, различными для разных металлов. Однако из табл. 2 видно, что значения  $Z_c$  не являются целыми числами. Обычно это объясняют дефектностью образца.

Нами обнаружена эмпирическая закономерность, заключающаяся в том, что величина  $\theta_p^6/I_p$ , созданная из параболы  $\theta_p$  и  $I_p$  исследованных металлов, описывается следующим выражением:

$$\theta_p^6/I_p = aK + b, \quad (4)$$

где  $K$  — целое число ( $K = 1, 2, 3 \dots$ ), свое для каждого металла;  $a$  и  $b$  — параметры, не зависящие от вида металла. Методом наименьших квадратов были определены  $a$  и  $b$  по данным из табл. 1

$$a = (3.91 \pm 0.21) \cdot 10^{-14}, \quad b = (-0.5 \pm 0.6) \cdot 10^{-14}.$$

В пределах ошибки  $b = 0$  и эмпирическую закономерность можно представить в виде

$$\theta_p^6/I_p = aK. \quad (5)$$

Она приведена на рис. 2. Величина параметра  $a$ , определенная из выражения (5) для рассмотренных металлов, показана на рис. 3. Ее среднее значение, полученное по методу наименьших квадратов

$$a = (3.74 \pm 0.05) \cdot 10^{-14},$$

изображено сплошной линией, а штриховой линией ограничен интервал ошибок. Используя эту величину и экспериментальные значения  $\theta_p^6/I_p$ , получим значения  $K$  для меди, алюминия, tantalа и хрома (табл. 2). В пределах ошибок значениями  $K$  являются целые числа, чего не скажешь о  $Z_c$ .

Необходимо отметить, что величины  $K$  совпадают с номером группы периодической системы элементов каждого металла (за исключением меди), который определяет число электронов на внешней оболочке

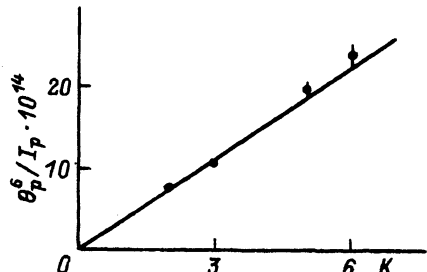


Рис. 2.  $\theta_p^6/I_p$  как функция  $K$ .  
Сплошная линия соответствует зависимости (5).

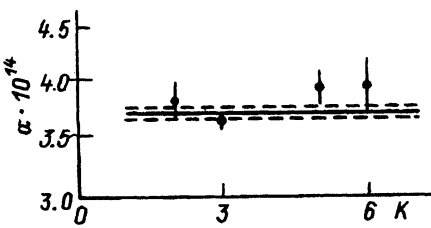


Рис. 3. Величина параметра  $a$  при разных  $K$ .  
Сплошная линия соответствует среднему значению, а штриховые линии ограничивают интервал ошибок.

атома. Эти электроны участвуют в образовании химической связи и электронного газа в металле. По-видимому, величина  $\theta_p^6/I_p$ , а не выражение (3) определяет удельное число электронов в электронном газе в металле, приходящихся на 1 атом металла. В связи с тем что медь может иметь валентность 1 и 2, значение  $K(\text{Cu})=2$  не противоречит общему выводу о том, что величина  $\theta_p^6/I_p$  характеризует удельное число свободных электронов в электронном газе.

В настоящее время физическая природа закономерности (5) не ясна. Необходимо проверить ее на других металлах и на металлах, подвергнутых разным способам обработки.

### Список литературы

- [1] Stewart A.T. // Can. J. Phys. 1957. V. 35. N 2. P. 168–183.
- [2] West R.N. // Adv. Phys. 1973. V. 22. N 3. P. 263–383.
- [3] Positrons in Solids / Ed. P.Hautojarvi. Berlin: Springer-Verlag, 1979. 255 p.
- [4] Berko S., Mader J. // Appl. Phys. 1974. V. 5. N 4. P. 287–306.
- [5] Михаленков В.С. // Металлофизика. 1983. Т. 5. № 6. С. 44–60.
- [6] Шалаев А.М., Адаменко А.А. Радиационно-стимулированное изменение электронной структуры. М.: Атомиздат, 1977. 176 с.
- [7] Novikov Yu.A., Rakov A.V., Shantarovich V.P. // Phys. St. Sol. 1990. V. A121. N 2. P. 495–500.
- [8] Novikov Yu.A., Rakov A.V., Shantarovich V.P. // 22 Polish Seminar on Positron Annihilation. May 14–18, 1990. Piechowice. Abstract of Papers. Wroclaw, 1990. P. 24.
- [9] Novikov Yu.A., Rakov A.V., Shantarovich V.P. // Preprint N 37. Institute of General Physics Academy of Sciences of the USSR. 1991. 11 p.
- [10] Новиков Ю.А., Филимонов М.К., Шантарович В.П. // Приборы и техника эксперимента. 1988. № 3. С. 43–46.

Институт общей физики РАН  
Москва

Поступило в Редакцию  
5 января 1994 г.